

FIG. 1

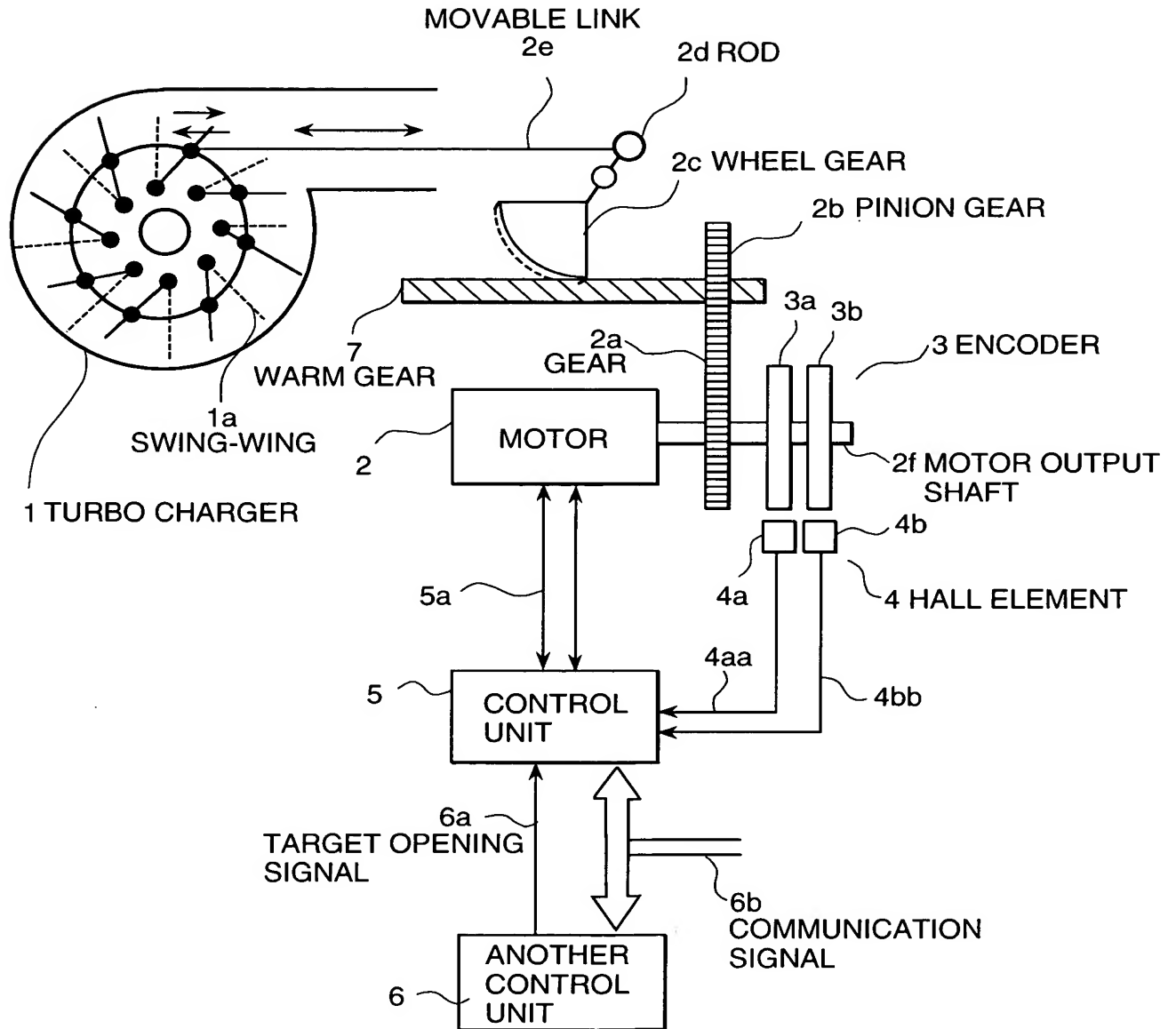


FIG. 2

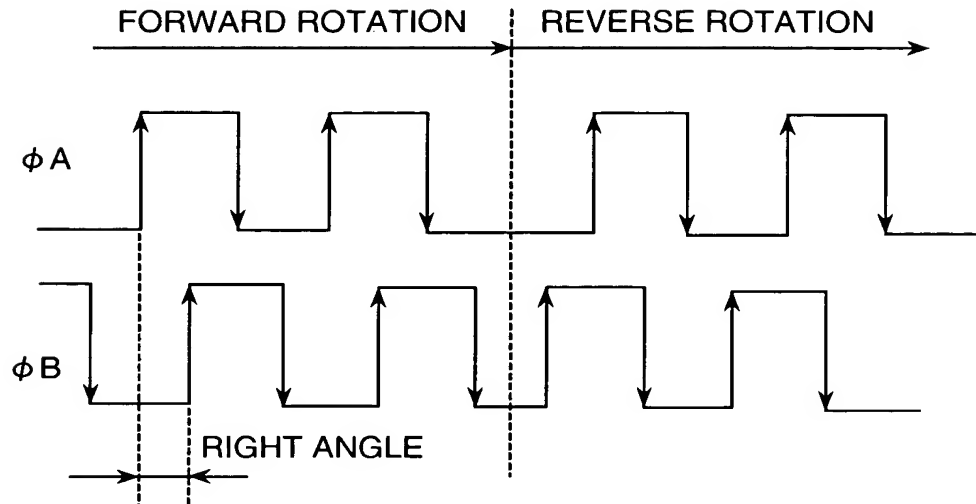


FIG. 3

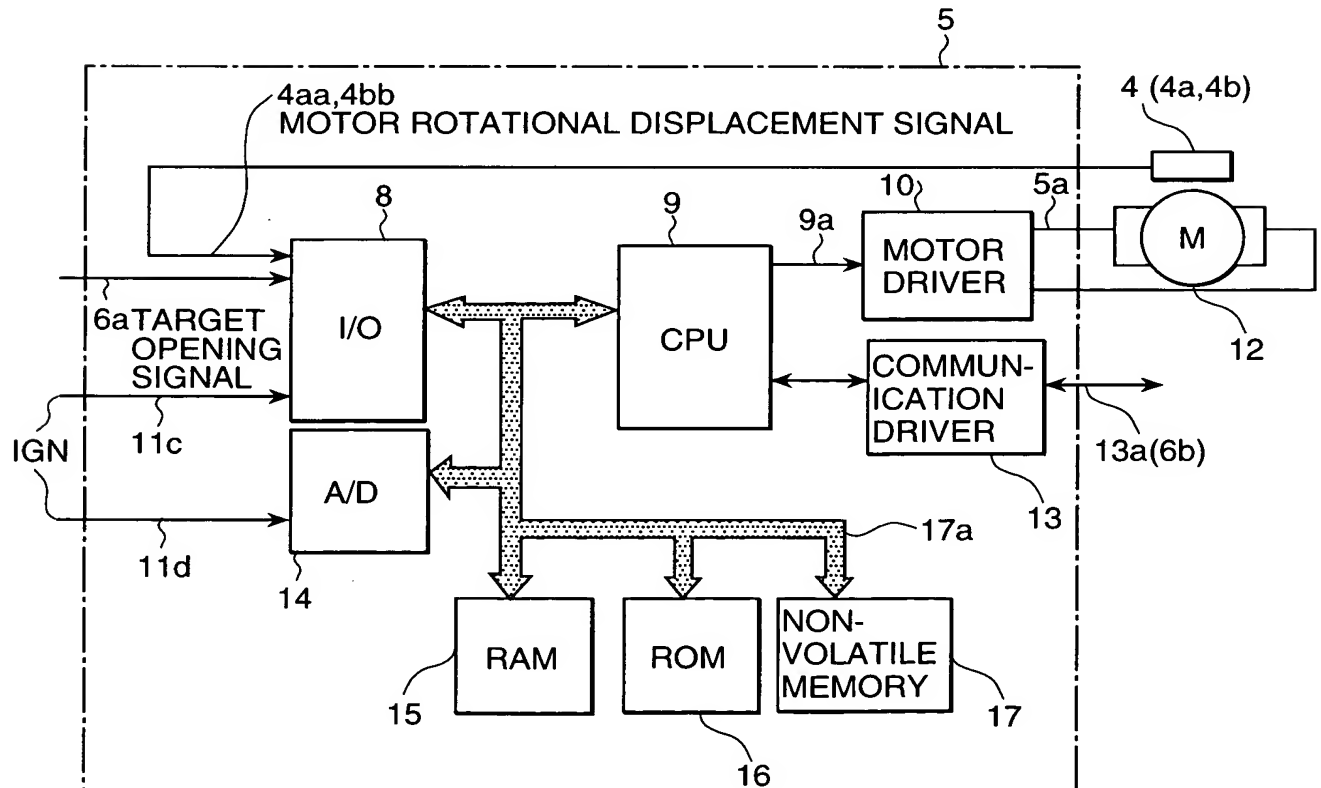


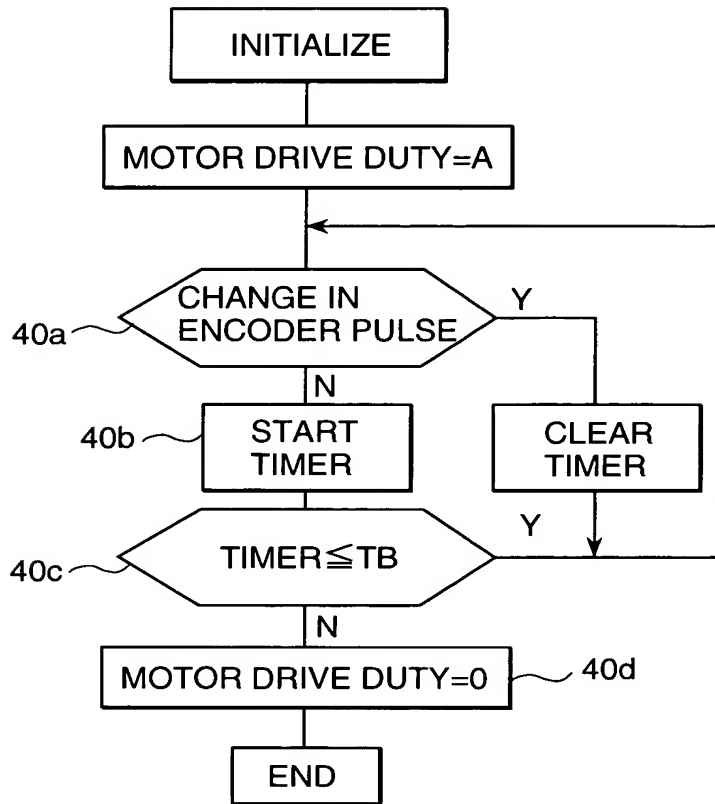
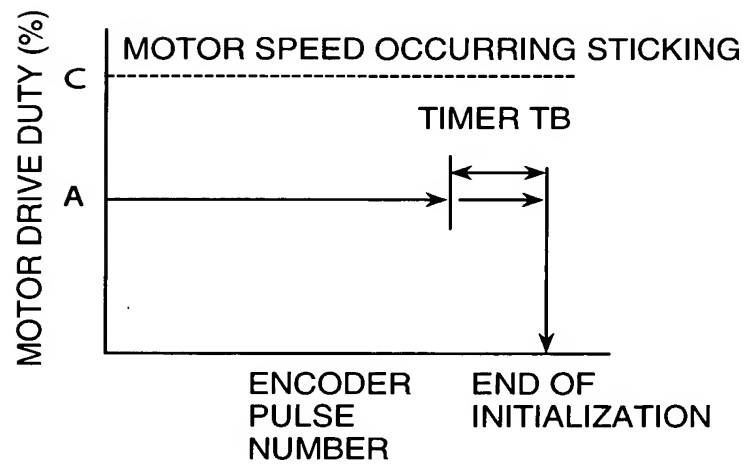
FIG. 4A**FIG. 4B**

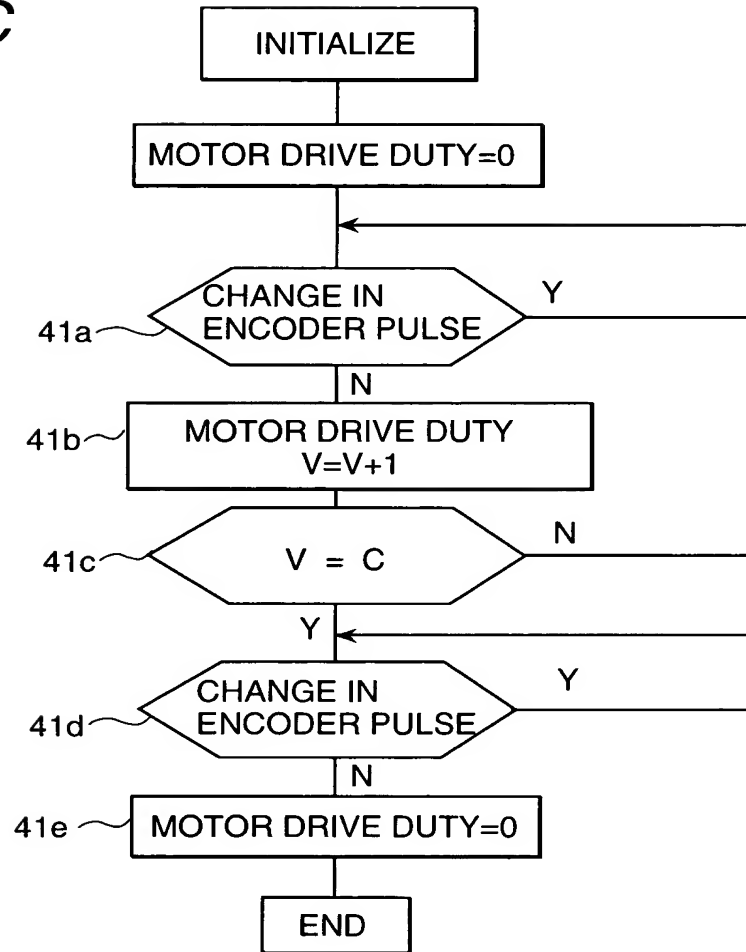
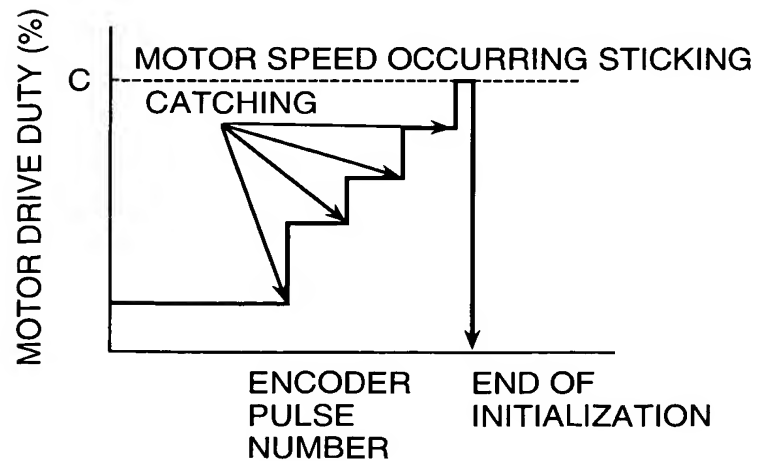
FIG. 4C*FIG. 4D*

FIG. 4E

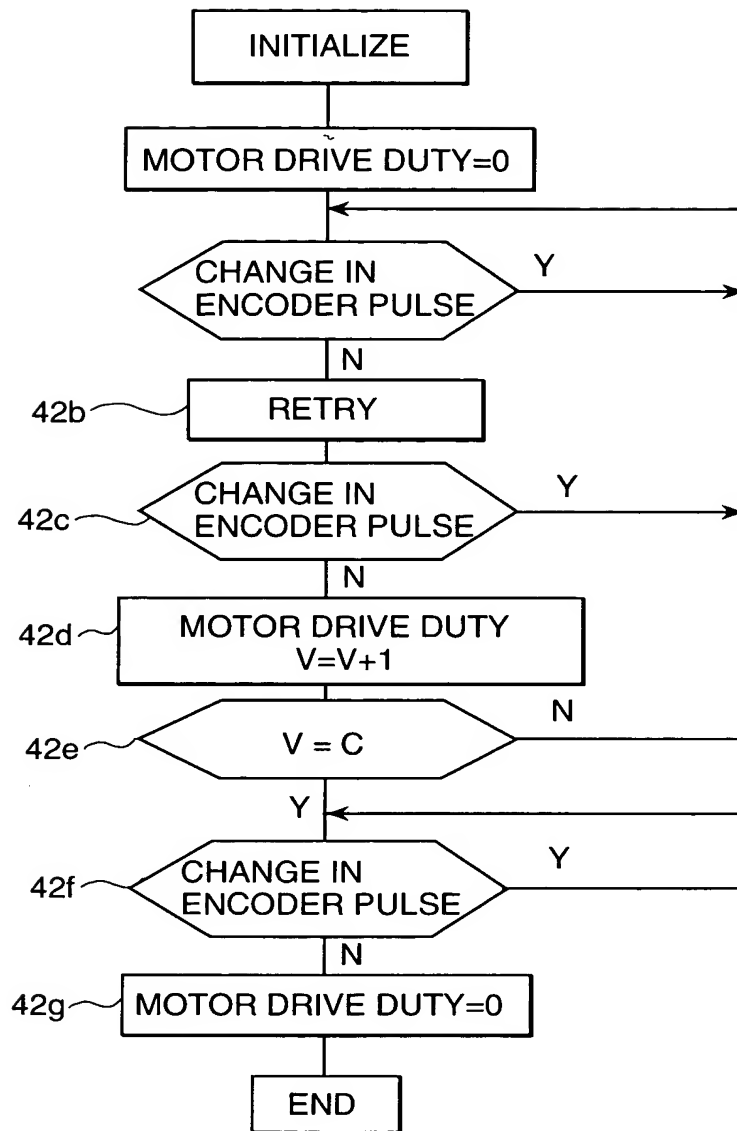


FIG. 4F

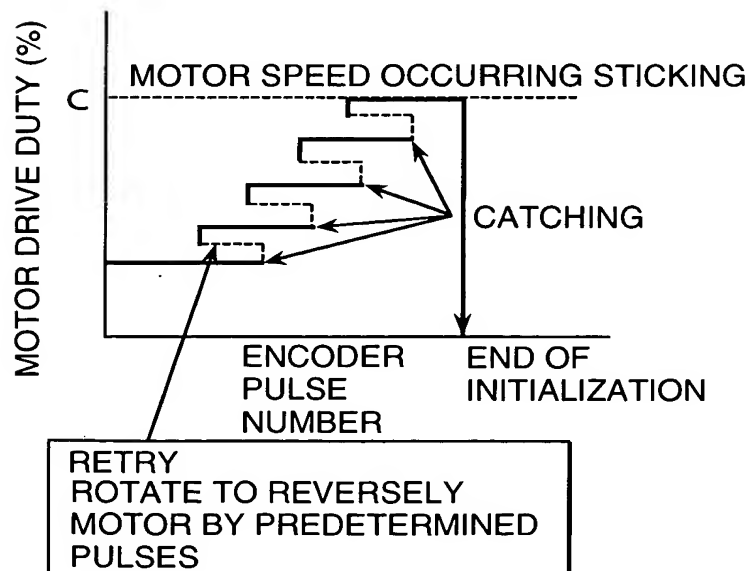


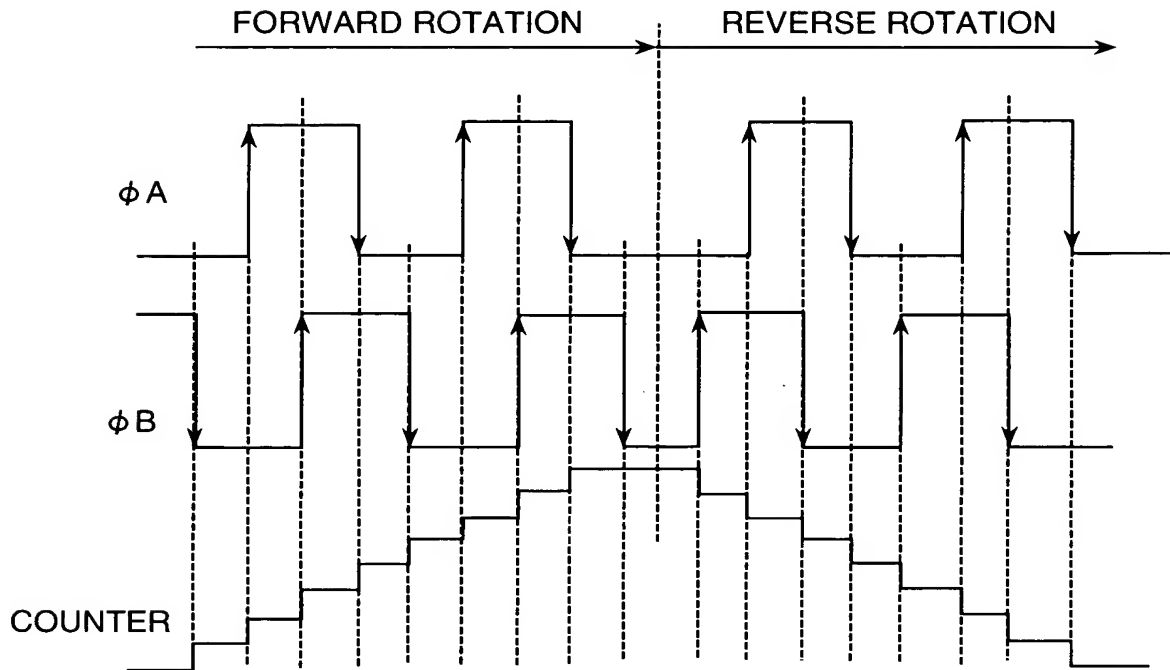
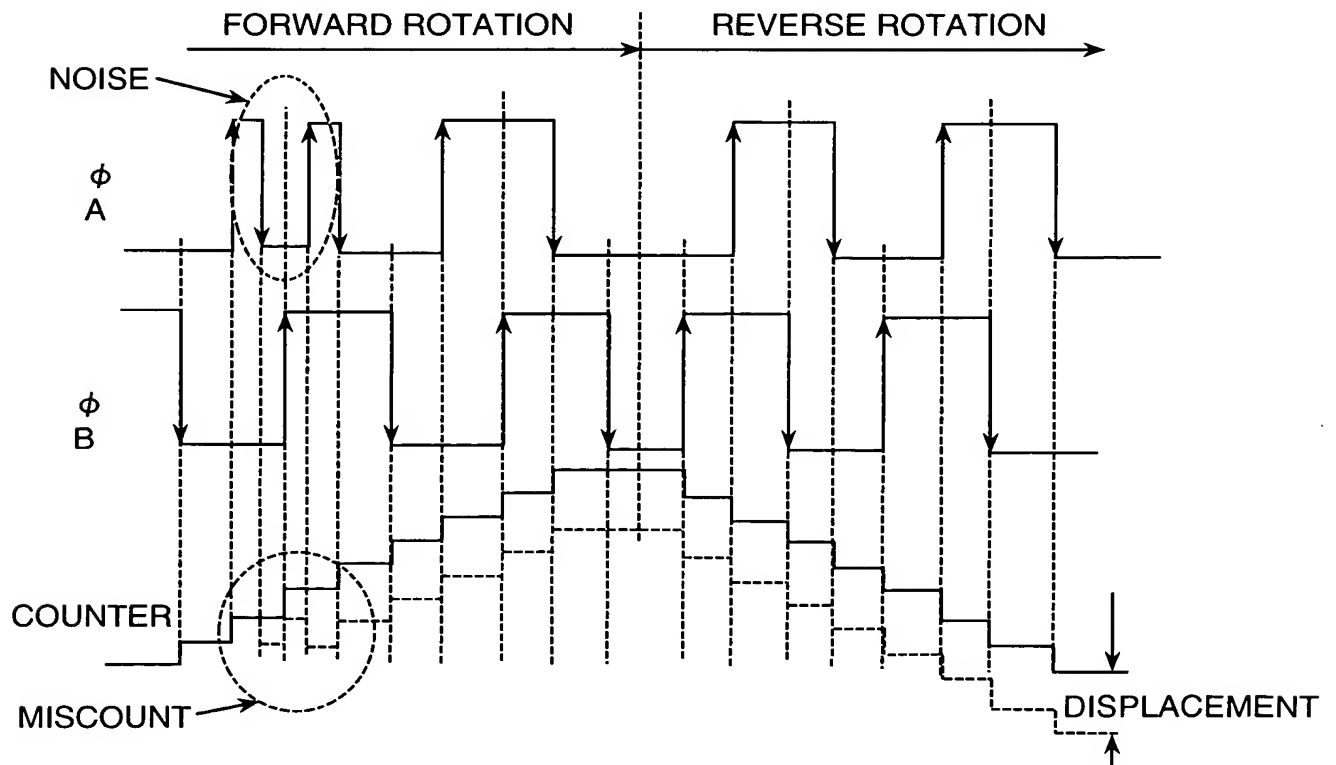
FIG. 5A*FIG. 5B*

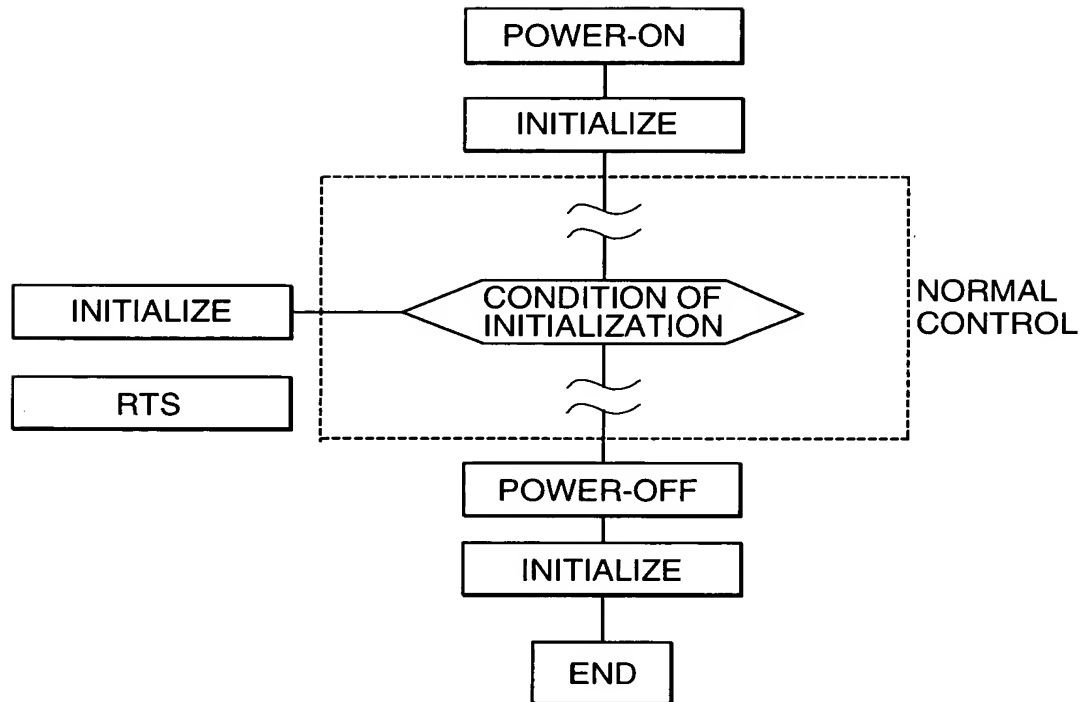
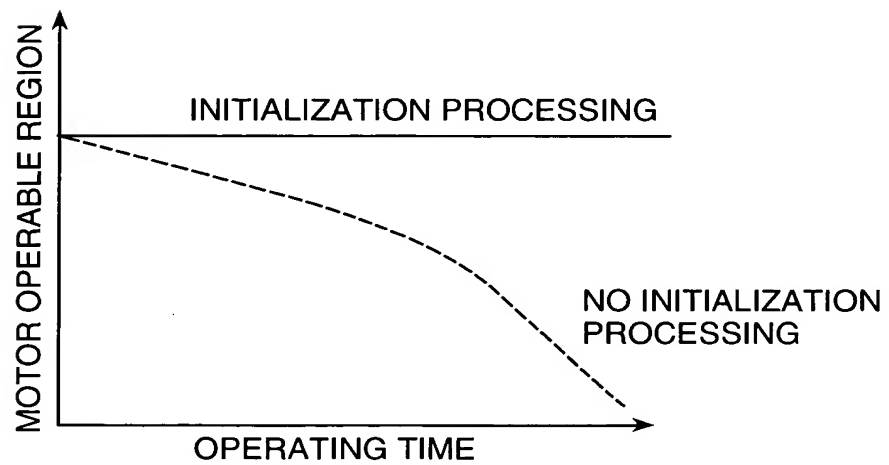
FIG. 6*FIG. 8*

FIG. 7

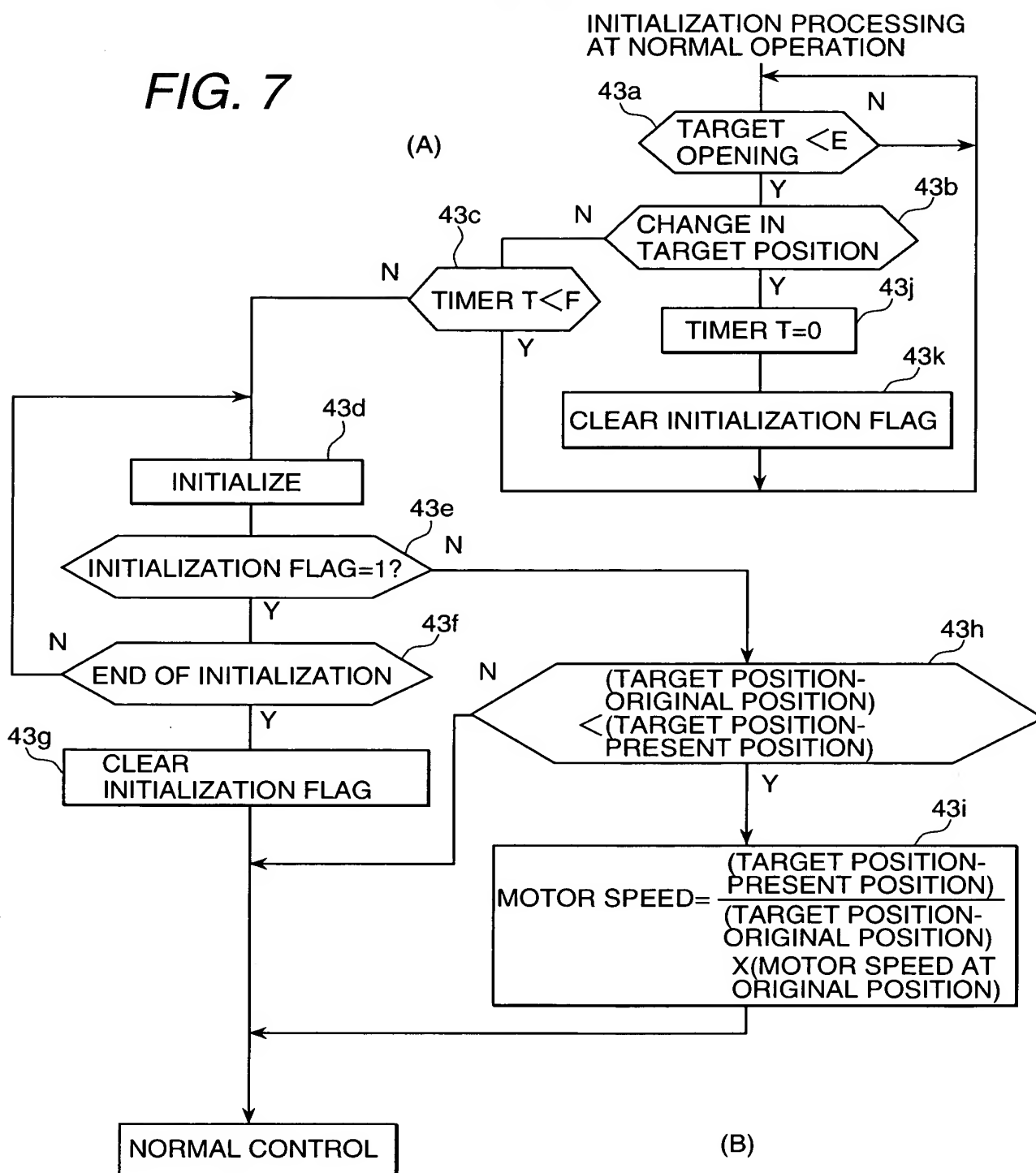
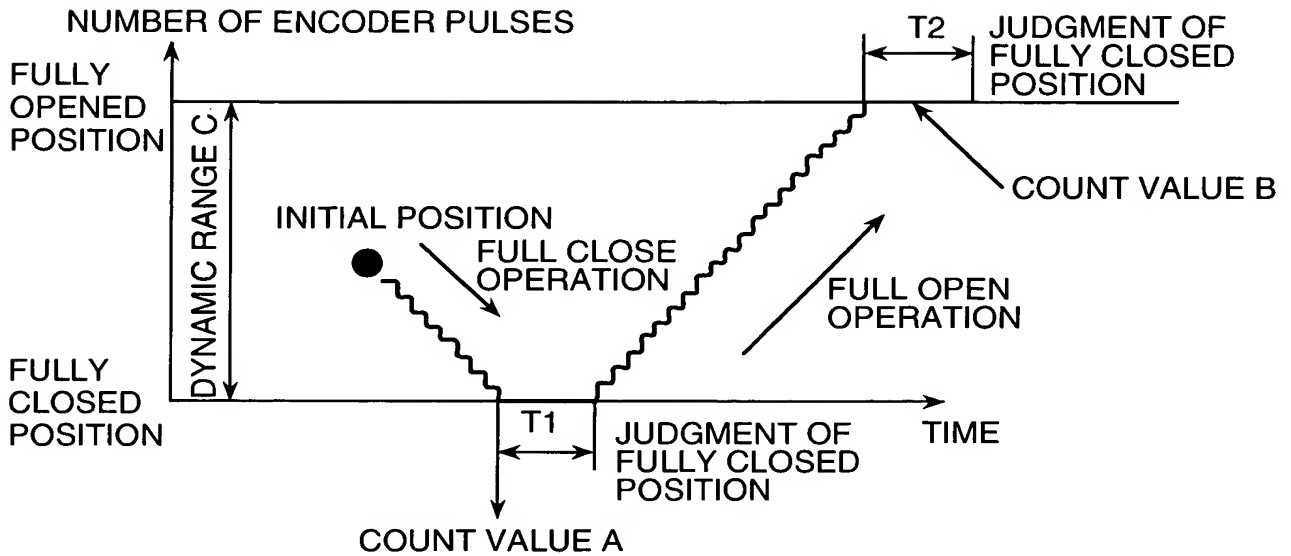


FIG. 9

AT NORMAL OPERATION : COUNT B-COUNT A = DYNAMIC RANGE
 AT ABNORMAL OPERATION : COUNT B-COUNT A \neq DYNAMIC RANGE

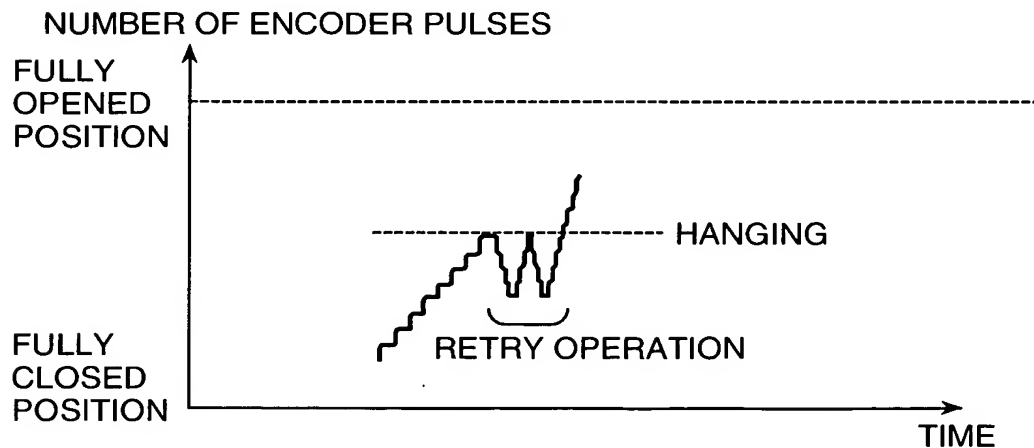
FIG. 10

FIG. 11

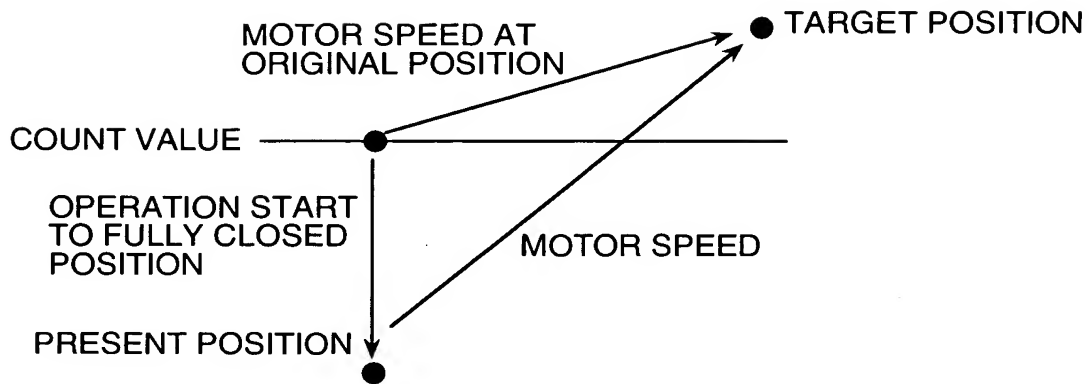


FIG. 12

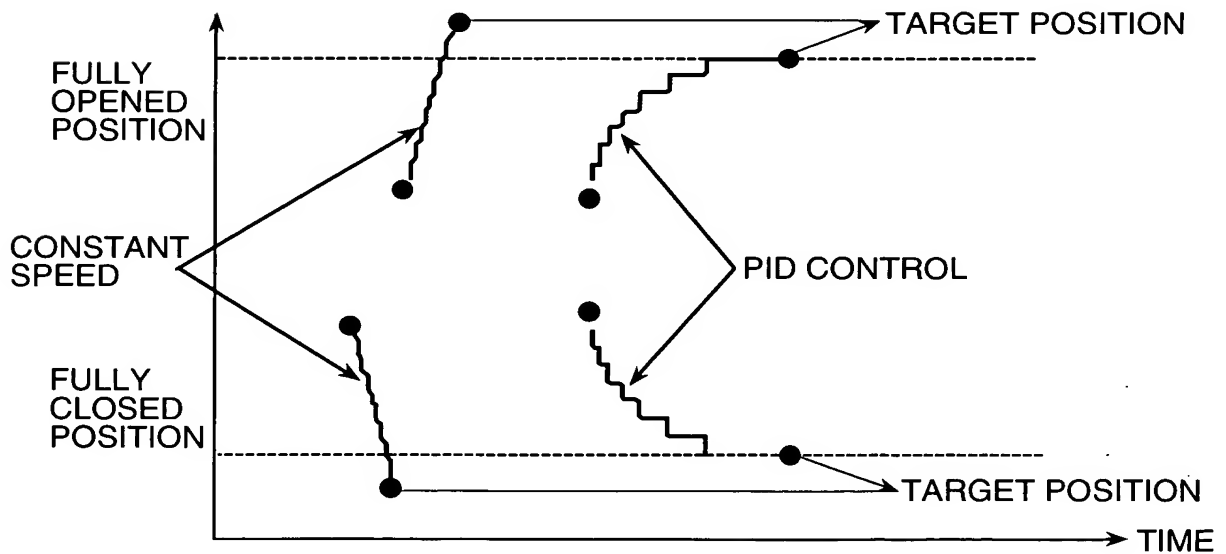


FIG. 13

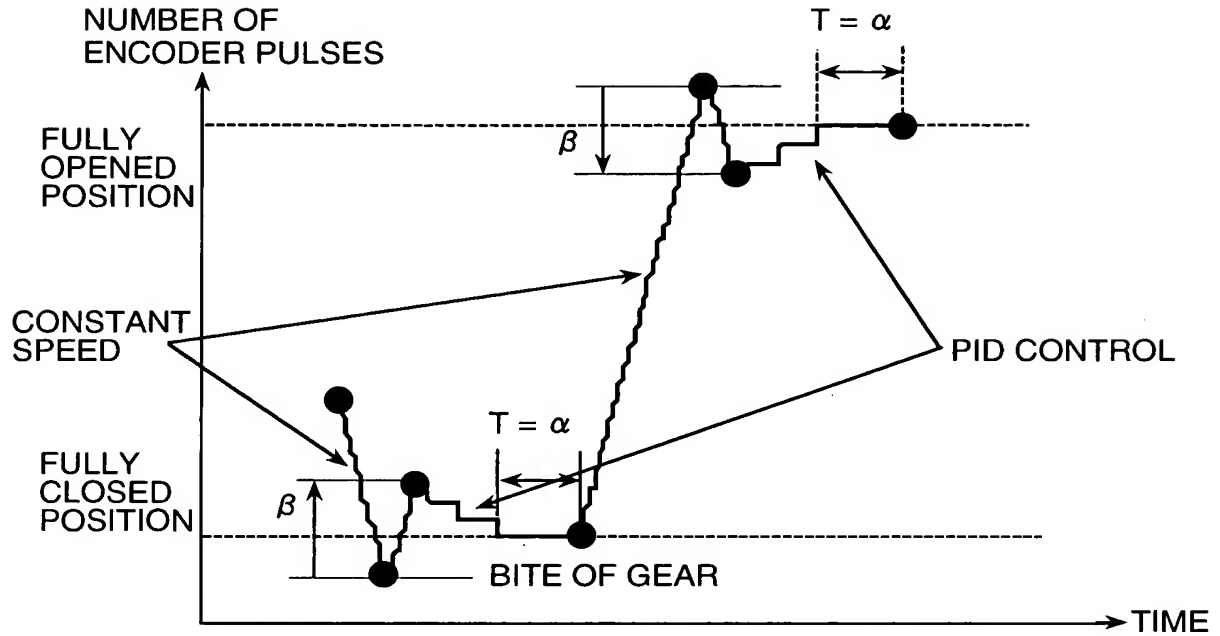


FIG. 14

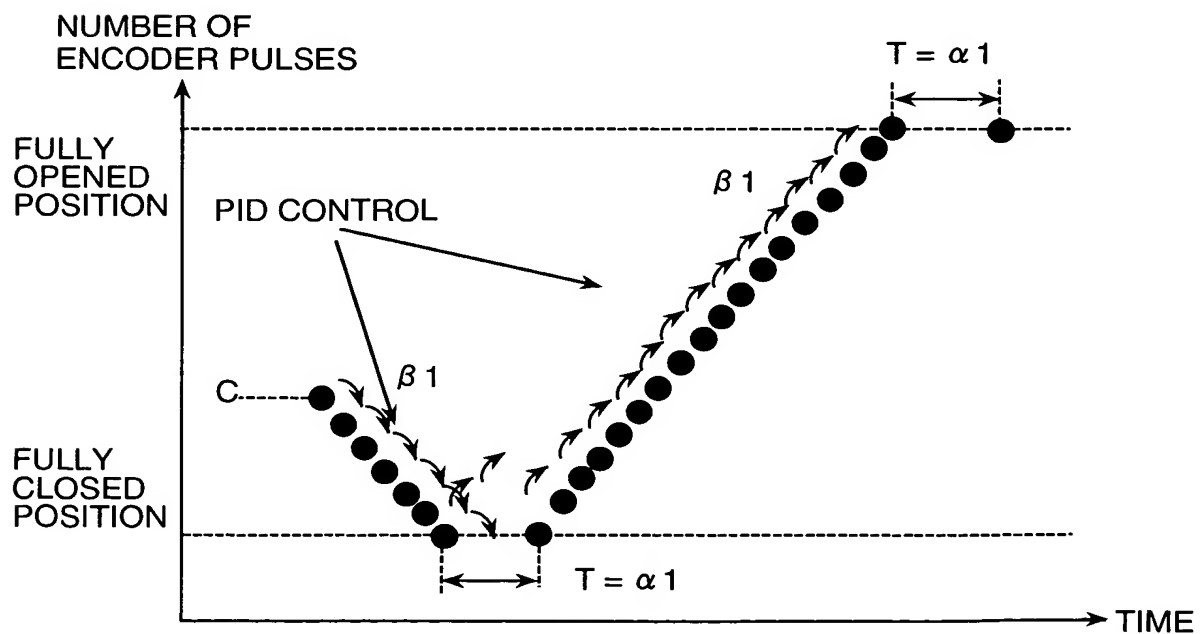


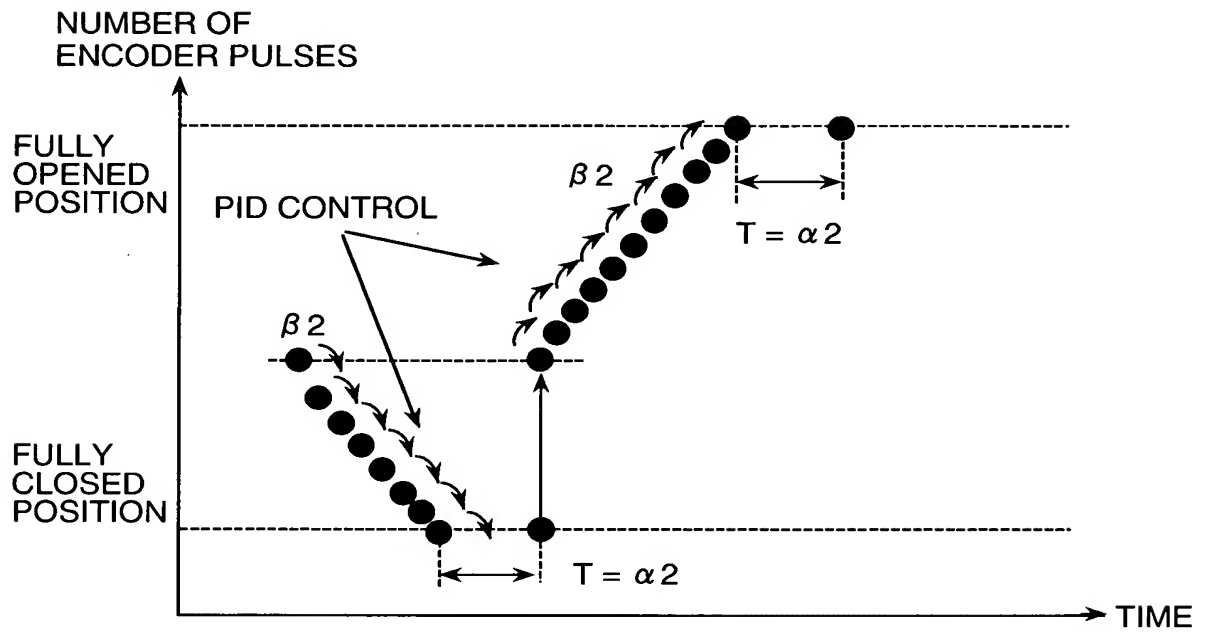
FIG. 15

FIG. 16

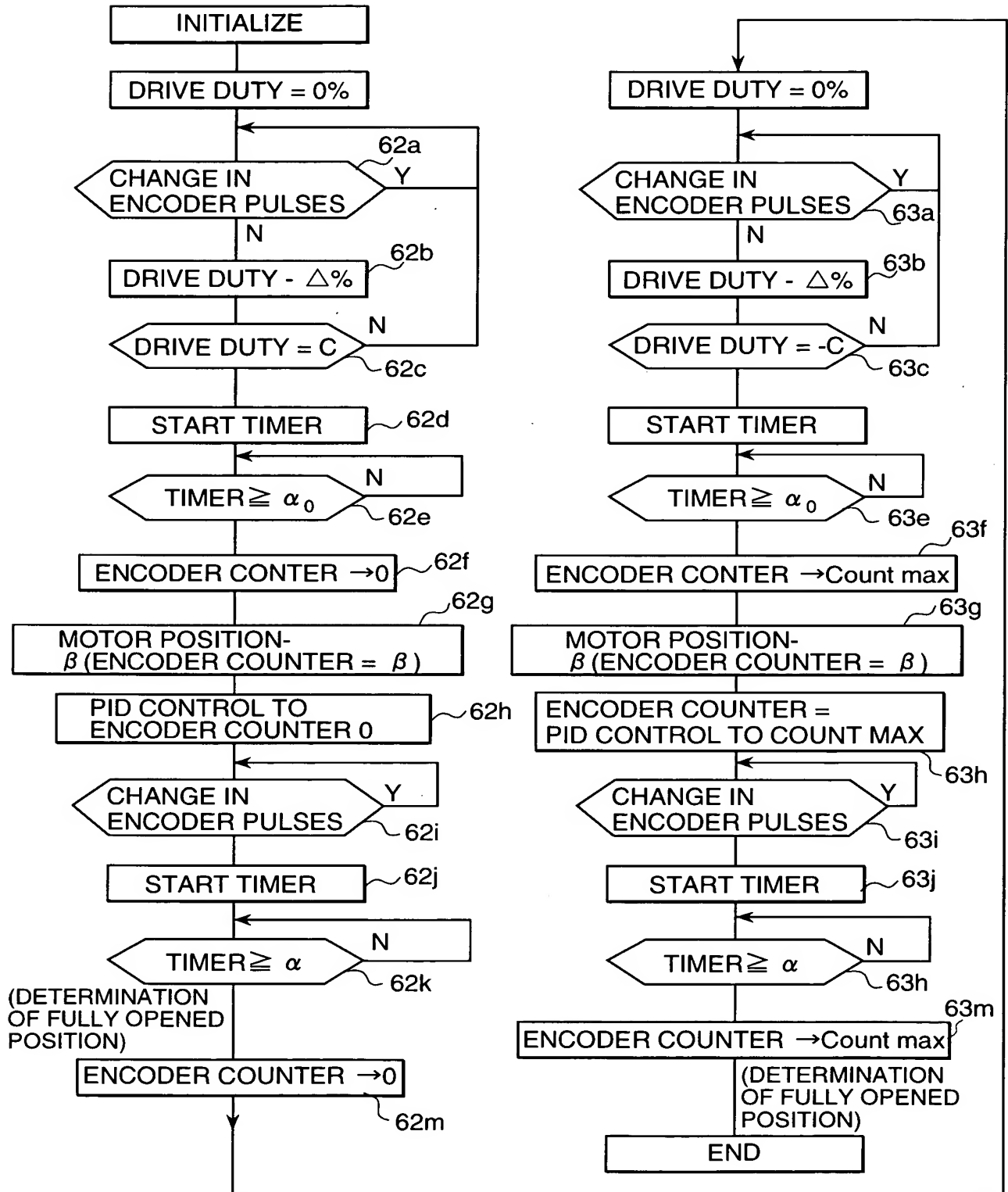


FIG. 17A

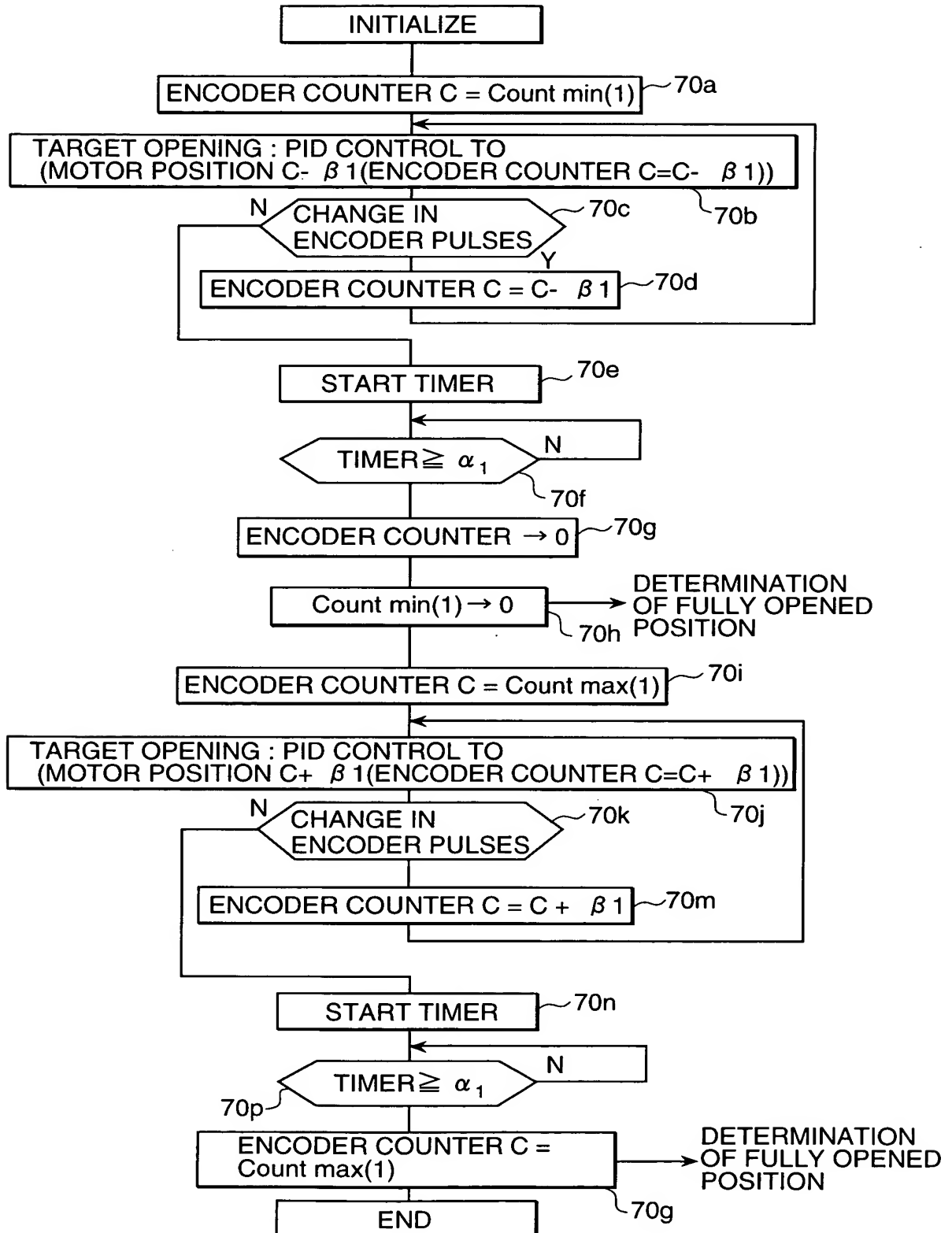


FIG. 17B

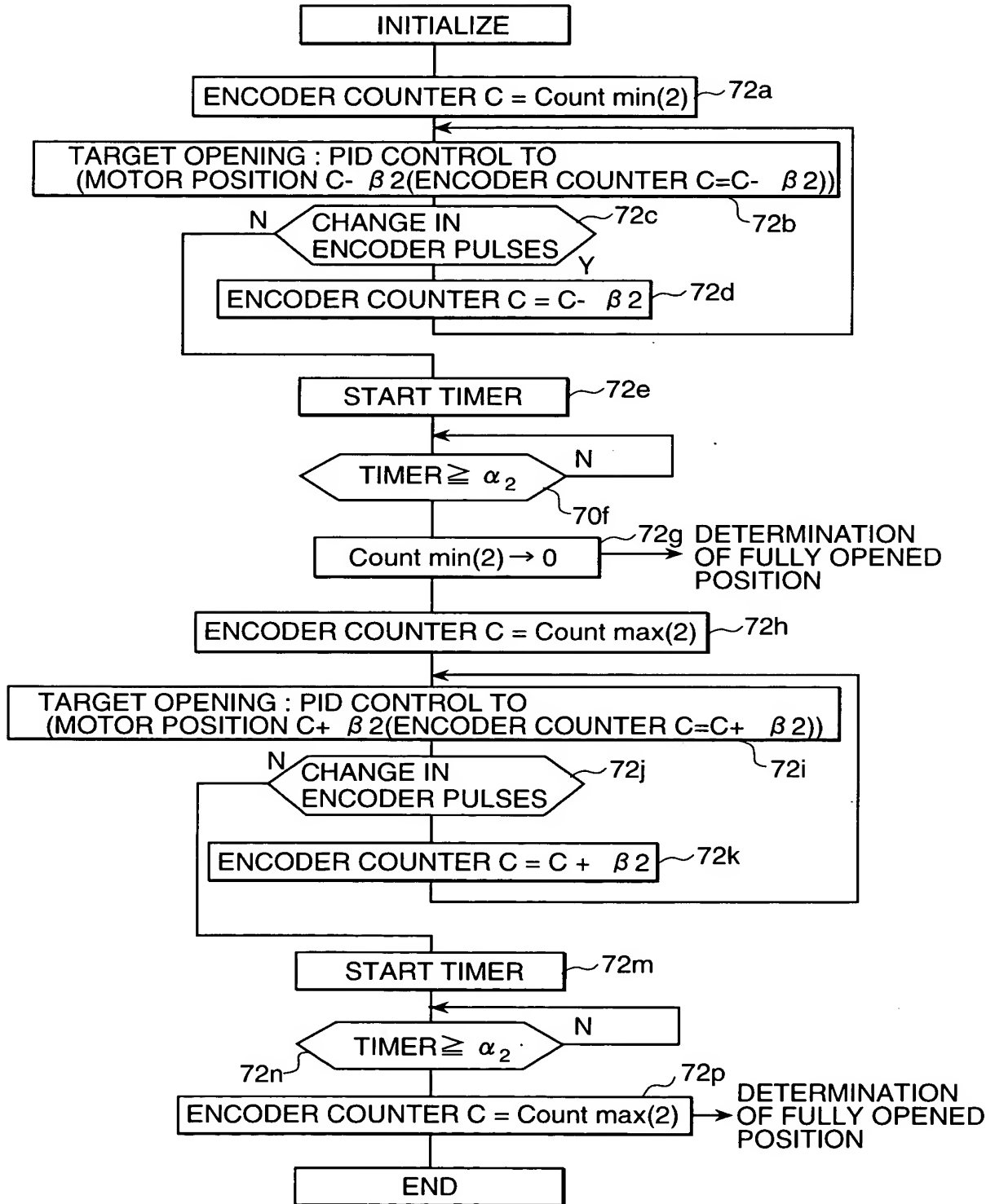


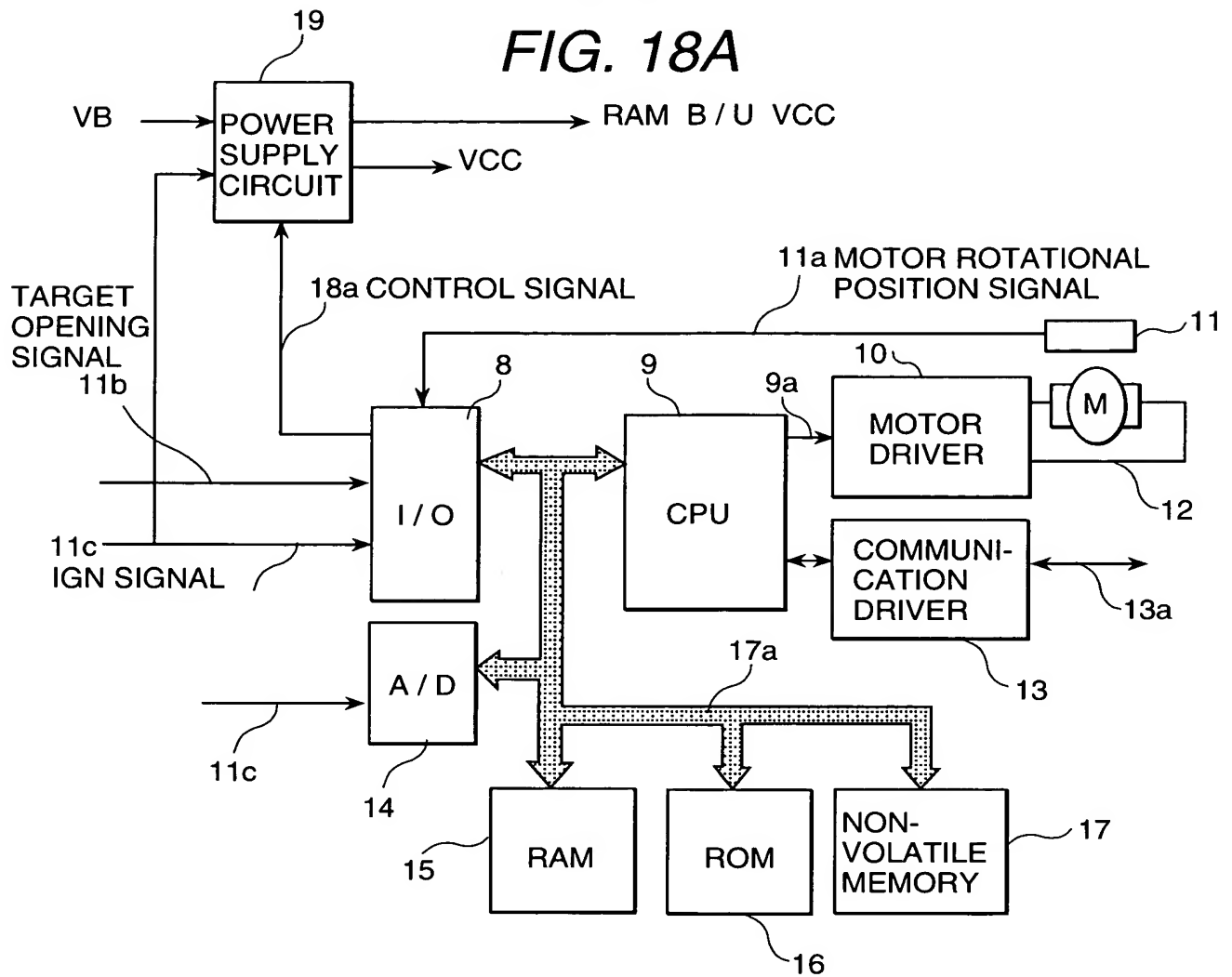
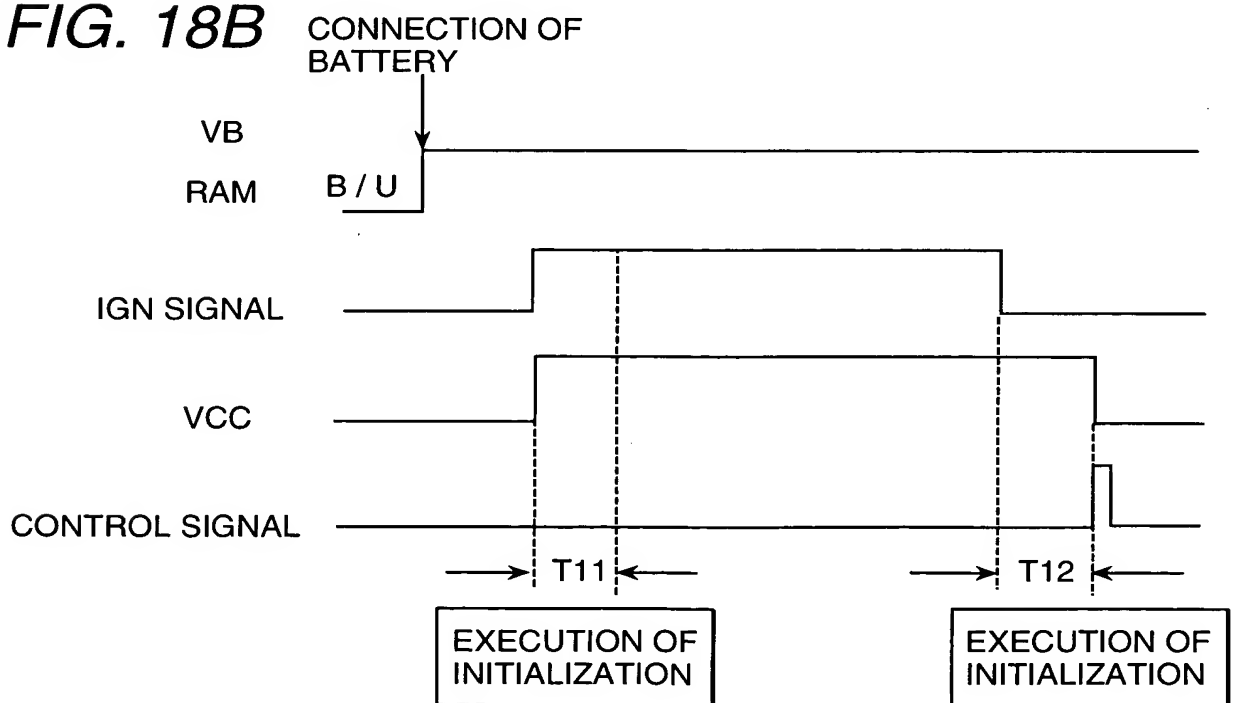
FIG. 18A**FIG. 18B**

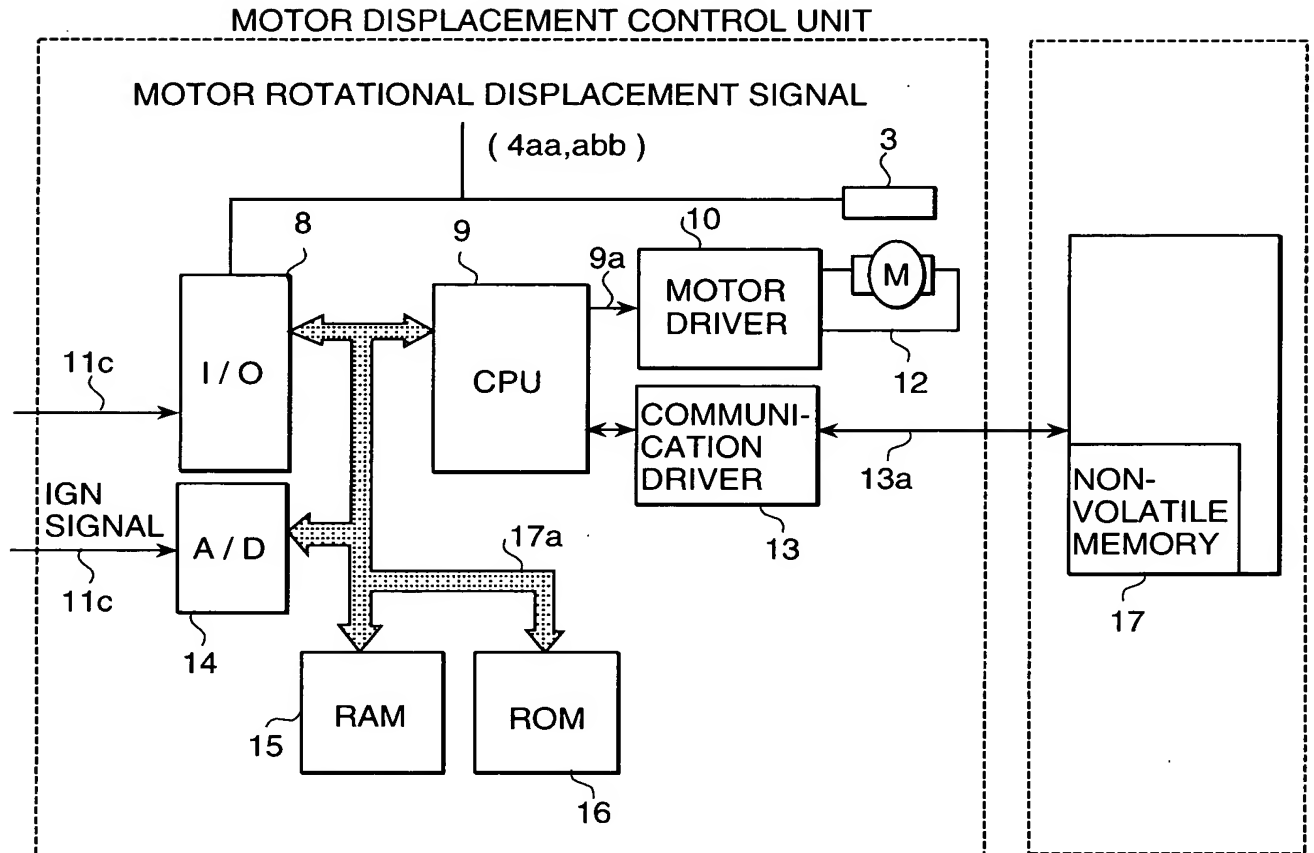
FIG. 19

FIG. 20